

بررسی تنوع ژنتیکی نمونه های *Aegilops crassa* ایران با استفاده از مارکرهای SSR

مجتبی رنجبر^۱ ، محمد رضا نقوی^۱ ، عباسعلی زالی^۱ ، محمد جعفرآقایی^۲

سید مصطفی پیرسیدی^۳ ، محسن مردی^۳

۱- به ترتیب دانشجوی سابق کارشناسی ارشد، دانشیار و استادگروه زراعت و اصلاح نباتات،

۲- استادیار موسسه تحقیقات نهال و بذر، بخش ژنتیک

۳- به ترتیب کارشناس ارشد و استادیار پژوهشکده بیوتکنولوژی کشاورزی، کرج

نویسنده مسئول مکاتبات، پست الکترونیک: ranjbarm57@yahoo.com

چکیده

به منظور بررسی تنوع ژنتیکی ۷۰ نمونه *Aegilops crassa*، ۶۳ نمونه تراپلوبئید و ۷ نمونه هگزاپلوبئید، از ۲۱ جفت توالیهای ساده تکراری ریزماهواره استفاده شد که ۲۰ جفت از پرایمها چند شکلی مناسبی نشان دادند. در مجموع ۱۴۰ آلل برای تمامی لوکوس ها مشخص گردید که در دامنه بین ۲ تا ۱۰ آلل و با میانگین ۷ آلل برای هر لوکوس قرار داشتند. محتوا اطلاعات چند شکلی^۱ (PIC) از ۰/۱۶ برای مکان ژنی Xgwm190، تا ۰/۴۴ برای مکان ژنی Xgwm161 متفاوت بود. همچنین شاخص نشانگر^۲ (MI) از ۰/۶۴ برای مکان ژنی Xgwm190 تا ۳/۲ برای مکان ژنی Xgwm642 متفاوت بود. میانگین شباهت ژنتیکی محاسبه شده بر اساس اطلاعات نشانگرهای ریزماهواره برابر ۰/۳۳ بود و از ۰/۰۳۶ (بین دو ژنوتیپ از کردستان و ایلام) تا ۰/۹۲ (بین دو ژنوتیپ از کردستان و آذربایجان غربی) متفاوت بود. روشهای گروه بندی کلستر و تجزیه به مختصات اصلی^۳ (PCO) نتوانست به طور کامل نمونه های تراپلوبئید و هگزاپلوبئید را از هم تفکیک نماید، همچنین هیچگونه ارتباط جغرافیایی و مولکولی بین نمونه های مورد بررسی مشاهده نگردید که نشان دهنده تفاوت ژنتیکی این نمونه ها می باشد. نتایج این تحقیق نشان داد که SSR برای مدیریت منبع ژنتیکی نمونه های *Ae. crassa* مناسب می باشد.

واژه های کلیدی

ریزماهواره ها،

Ae. crassa

تنوع ژنتیکی،

تجزیه خوش ای

مقدمه

آژیلوپس ها شامل ۲۱ گونه می باشند که در ۶ زیرجنس طبقه بندی می شوند و بعضی از آنها به علت داشتن ژنوم D و اهمیت آن در کیفیت نان می توانند با واریته های گندم تلاقی داده

¹. Polymorphic Information Content (PIC)

². Marker Index(MI)

³. Principle Coordinate Analysis

مارکرهای ریز ماهواره ها می باشند که به علت دارا بودن خاصیت چند آللی، وراثت هم بارز، فراوانی نسبی و پوشش وسیع ژنومی و همچنین سهولت آشکار سازی و تشخیص کاربرد فراوانی دارند (۲۰، ۱۷). تا کنون مطالعات مختلف در بررسی تنوع ژنتیکی بعضی از گونه های آژیلوپس انجام گرفته است، ولی تا کنون هیچگونه تحقیقی در بررسی تنوع ژنتیکی Kochieva *Ae. crassa* صورت نگرفته است. به عنوان مثال Ae. crassa و همکاران (۲۰۰۴) تنوع ژنتیکی ۷۴ توده از گونه های Ae. crassa, Ae. juvenalis, Ae. vavilovii, Ae. cylindrica دادند و بالاترین تنوع داخل گونه ای را در Ae. vavilovii کمترین تنوع داخل گونه ای را در گونه های Ae. crassa و همکاران (۲۰۰۰) گزارش نمودند (۸). Lelley و همکاران (۲۰۰۷) به منظور مطالعه فیلوژنی بین Ae. tauschii و گندم نان، از هر کدام از این دو گونه ۶۰ نمونه را با استفاده از ۱۴ آغازگر ریزماهواره گندم مور بررسی قرار دادند. آنها بطور متوسط ۶/۵ و ۴ الی را در هر مکان ژنی به ترتیب برای Ae. tauschii و گندم شناسایی نمودند (۱۲). Kazutoshi و همکاران (۱۹۹۸) تنوع ژنتیکی بین ۱۱۲ توده از Ae. tauschii (ژنوم Ae. crassa, CCDD)، Ae. cylindrica (ژنوم Ae. biuncialis, DDMM) و Ae. biuncialis (ژنوم UUMM) را با استفاده از RAPD مطالعه کردند و در نهایت در این تحقیق ۲۰۲ باند قابل نمره دهی مشاهده نمودند و گونه های آژیلوپس به طورکلی به دو گروه اصلی که یکی شامل گونه های با ژنوم D و دیگری شامل گونه های با ژنوم U تقسیم شدند. (۹). رنجبر و همکاران (۲۰۰۷) تنوع مورفولوژیکی ۱۲۲ نمونه از Ae. crassa بومی ایران را با استفاده از ۱۴ صفت کمی مورد ارزیابی قراردادند و دریافتند که ارتباطی بین تنوع ژنتیکی و مشایع جغرافیایی آنها وجود ندارد (۱۶). همچنین این پژوهشگران با مطالعه سیتوژنتیکی و فلوزیتومنتری ۷۰ نمونه Ae. crassa بومی ایران ۷ نمونه هگزاپلوبئید و ۶۳ نمونه تترابلوبئید را شناسایی کردند (۱). اگرچه یک پراکنش وسیعی از آژیلوپس کراسا در ایران

شوند (۲۲، ۲۲). گونه های جنس آژیلوپس در شمال غربی و مرکز آسیا و ایران و سرتاسر دریای مدیترانه پراکنده شده اند (۹). مرکز اولیه جنس آژیلوپس طبق بررسی های مختلف (۱۱، ۲۲، ۲۴) در هلال حاصلخیز بوده است، زیرا مقدار زیادی از گونه های آژیلوپس نسبت به مناطق دیگر در این منطقه یافت می شوند. این جنس دارای پتانسیل بالایی در اصلاح گونه های گندم برای مقاومت در مقابل تنشهای زنده و غیر زنده می باشد (۲۵). در ایران نیز تقریباً ۱۷ گونه از آژیلوپس ها شناسایی شده اند، که از جمله آنها می توان به آژیلوپس Ae. crassa اشاره نمود که دارای دو سیتوتیپ تترابلوبئید و هگزاپلوبئید با ژنوم ($2n=4x=28$, DDX₂) و ($2n=6x=42$, DDX₂XD) می باشد و عموماً از نظر ساختار مورفولوژیکی غیر قابل تفکیک می باشند.

این گونه دارای تنوع مورفولوژیکی بسیار وسیع برای تمامی صفات مشخصه از قبیل اندازه، شکل، ساختمان و رنگ سنبله و سنبلچه، اندازه، شکل و محل اتصال ریشک است (۱۱). همچنین تجزیه جفت شدن کروموزومهای میوزی در هیبریدهای بین سیتوتیپ های تترابلوبئید و هگزاپلوبئید Ae. crassa بیانگر آن است که فرم هگزاپلوبئید از Ae. tauschii میانگر آن است که فرم Ae. crassa و Ae. tauschii هیبریداسیون بین فرم تترابلوبئید (۴, ۲۶) اما در حال حاضر (ژنوم DD) حاصل گردیده است. اما در حال دقت منشا سیتوتیپ تترابلوبئید Ae. crassa را نمی توان با دقت تعیین کرد. بنظر می رسد ژنوم D گونه Ae. crassa از ژنوم Ae. tauschii مشتق گردیده و سپس در طی گونه زایی مشمول تغییرات اساسی گردیده است (۲). پراکنش گونه Ae. crassa شامل مناطق ترکیه، لبنان، فلسطین، سوریه، عراق، ایران، افغانستان و جنوب ترکمنستان گزارش گردیده است (۱۱, ۲۲). بررسی تنوع ژنتیکی جنس ها و گونه های مختلف اطلاعات مفیدی را در استفاده از آنها در برنامه های اصلاحی و رديابی تکامل آنها فراهم آورد. برای بررسی تنوع ژنتیکی می توان از مارکر های مورفولوژیکی، پروتئینی و مارکرهای DNA استفاده نمود. مارکرهای DNA نسبت به مارکر های مورفولوژیکی و پروتئینی کاربردی تر و دارای مزایای بیشتری می باشند. از جمله مارکرهای DNA

برنامه ریزی شده بود، به این صورت که دمای اتصال آغازگر به رشته الگو ۱۰ درجه سانتیگراد بالاتر از دمای اتصال واقعی در نظر گرفته شد و در هر چرخه دور اول با کاهش ۰/۸ دما، به دمای اتصال واقعی رسید. در ۲۵ چرخه بعد دمای اتصال ثابت (بسته به دمای اتصال آغازگر) و با زمان ۳۰ ثانیه انجام شد، در هر چرخه نیز، زمان و دمای واسرشت سازی به ترتیب ۳۰ ثانیه و ۹۴ درجه در نظر گرفته شد. همچنین زمان و دمای بسط رشته نیز به ترتیب ۱ دقیقه و ۷۲ درجه بود. محصولات تکثیر شده با استفاده از الکتروفورز ژل پلی اکریلامید ۶ درصد و اسرشت ساز تفکیک و رنگ آمیزی به روش نیترات نقره (۳) انجام گرفت.

نمودهی بر اساس وجود باند (۱) و عدم وجود باند (۰) صورت گرفت. میزان اطلاعات چندشکل (PIC) با استفاده از فرمول $PIC = \sum_{i=1}^n p_i^2$ محاسبه گردید. بطوريکه $\beta_{MI} = PIC \times \frac{1}{N}$ فراوانی آلل i ام و n تعداد آلل ها می باشد. همچنین میزان شاخص نشانگر (MI) با استفاده از فرمول $\beta_{MI} = \frac{\sum_{i=1}^n p_i^2}{N}$ محاسبه گردید، بطوريکه N تعداد کل باند و β نسبت تعداد باند چند شکل به تعداد کل باند می باشد. سپس به کمک نرم افزار NTSYSpc 2.02 ماتریس تشابه با استفاده از روش دایس^۳ تهیه و سپس دندروگرام با الگوریتم PGMA^۴ ترسیم گردید. همچنین با استفاده از روش تجزیه به مختصات اصلی (PCO) گروه بندهی نمونه ها در یک پلات دو بعدی بررسی شد.

گزارش شده است (۶) اما اطلاعات کمی درباره این گونه در ایران وجود دارد. هدف از این تحقیق بررسی تنوع ژنتیکی نمونه های *Ae. crassa* جمع آوری شده از تعدادی از مناطق ایران با استفاده از نشانگر مولکولی ریزماهواره می باشد.

مواد و روشها

مواد گیاهی

در این تحقیق از ۷۰ نمونه *Ae. crassa* که از ۱۵ استان شامل همدان، ایلام، زنجان، آذربایجان غربی، قزوین، فارس، چهارمحال و بختیاری، کرمانشاه، خراسان رضوی، لرستان و آذربایجان شرقی، خراسان شمالی، مرکزی، کردستان و خوزستان که توسط بانک ژن گیاهی ملی ایران، موسسه تحقیقات اصلاح و تهیه نهال و بذرکرج جمع آوری شده بود، استفاده گردید (جدول ۱) (شکل ۱). بر اساس مطالعه سیتوژنتیکی انجام شده قبل مشخص شده بود که ۶۳ نمونه تترالپوئید و ۷ نمونه هگزاپلوئید می باشند (۱).

تجزیه مولکولی

تعداد ۲۱ جفت نشانگر ریزماهواره در این بررسی استفاده شد که جداسازی این مارکرهای SSR قبلاً به وسیله Roder و همکاران (۱۷) شرح داده شده است. استخراج DNA از نمونه های برگی و با استفاده از روش سقابی معروف و همکاران (۱۹) با اندکی تغییر انجام گرفت. واکنش زنجیره ای پلیمراز در حجم ۱۵ میکرولیتر شامل ۲ میکرولیتر DNA ژنومی (غلظت ۵۰-۶۰ نانوگرم)، ۱/۵ میکرولیتر بافر ۱۰X، ۱ میکرولیتر ۱mM dNTPs ، ۱ میکرولیتر از هر کدام از آغازگرهای رو به جلو^۱ و رو به عقب^۲ (غلظت ۱۰ پیکومول)، ۰/۵ واحد آنزیم Taq پلی مراز، ۱/۲ میکرولیتر از کلریدمنزیم ۱۵ میلی مولار و در نهایت با ۷/۲ میکرولیتر آب دوبار تقطیر انجام شد. چرخه حرارتی شامل یک مرحله واسرشت سازی اولیه در دمای ۹۴ درجه به مدت ۵ دقیقه، ۳۷ سیکل حرارتی Touch Down اول سیکل حرارتی به صورت

³. Dice

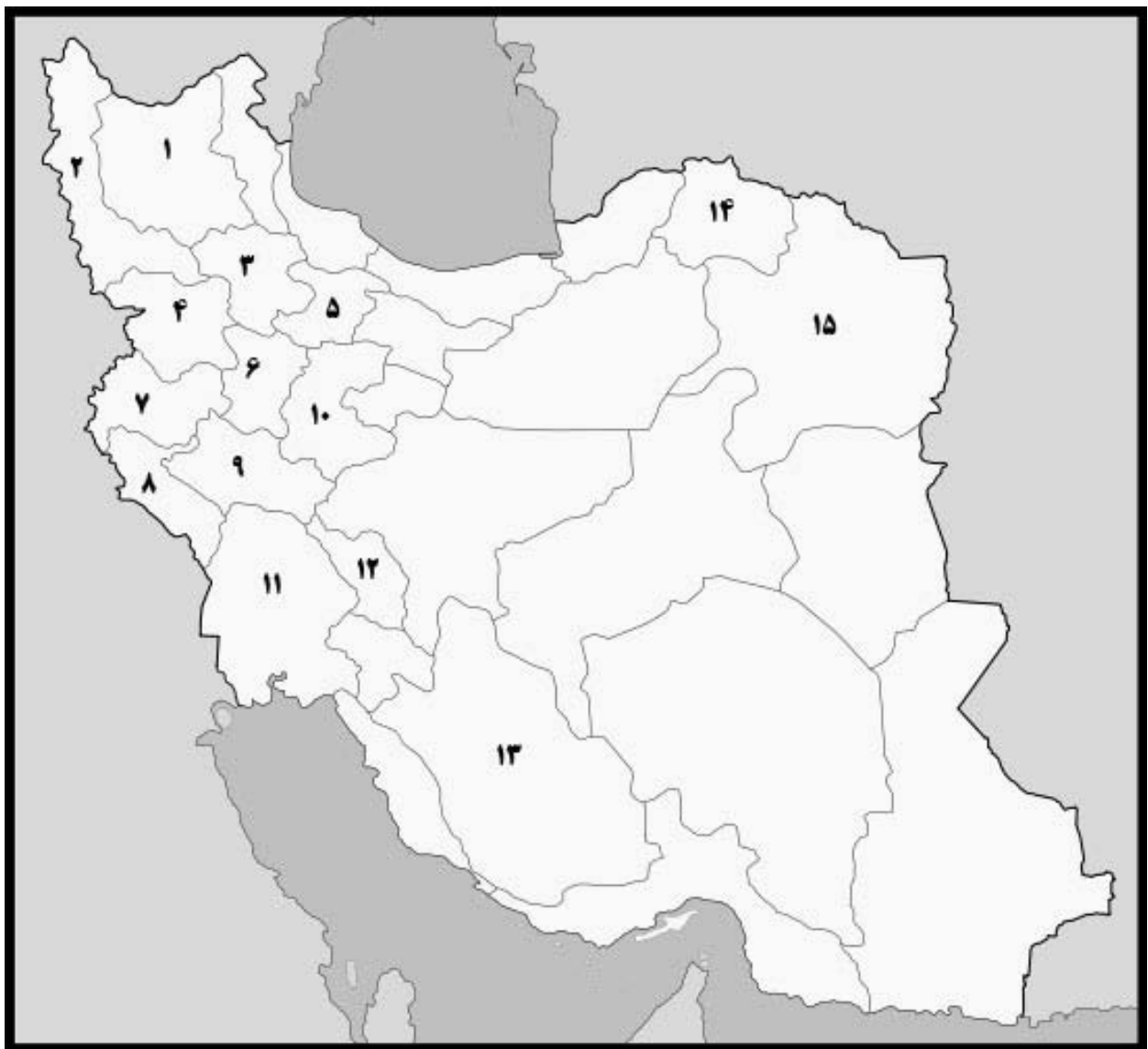
⁴. Unweighted Pair-Group Method Arithmetic Average

¹. Forward

². Reverse

جدول ۱- اطلاعات محل جمع آوری و سطح پلوبیدی نمونه های *Ae. crassa* مورد مطالعه

شماره	نام شهر	استان	شماره	نام شهر	استان	نام شهر
۱	همدان	همدان	۳۶	همدان	آذربایجان غربی	سقز
۲	ایلام	دهلران	۳۷	دهلران	خراسان شمالی	بجنورد
۳	آذربایجان غربی	ارومیه	۳۸	آرومیه	کرمانشاه	اسلام اباد غرب
۴	زنجان	خدابنده	۳۹	آذربایجان غربی	ایلام	شیروان
۵	آذربایجان غربی	ارومیه	۴۰	آذربایجان غربی	ایلام	شیروان
۶	آذربایجان غربی	میاندواب	۴۱	آذربایجان غربی	ایلام	شیروان
۷	قزوین	قزوین	۴۲	قزوین	فارس	جهرم
۸	فارس	شیراز	۴۳	شیراز	کرمانشاه	کرمانشاه
۹	ایلام	دهلران	۴۴	دهلران	آذربایجان غربی	مهاباد
۱۰	فارس	شیراز	۴۵	شیراز	آذربایجان غربی	میاندواب
۱۱	چهارمحال	لدگان	۴۶	چهارمحال	زنجان	ماه نشان
۱۲	کرمانشاه	پاوه	۴۷	کرمانشاه	کرمانشاه	کرمانشاه
۱۳	آذربایجان غربی	ارومیه	۴۸	آذربایجان غربی	کرمانشاه	کرمانشاه
۱۴	خراسان رضوی	مشهد	۴۹	خراسان رضوی	قزوین	قزوین
۱۵	فارس	ممسمی	۵۰	فارس	کردستان	سقز
۱۶	لرستان	درود	۵۱	لرستان	آذربایجان غربی	مهاباد
۱۷	آذربایجان غربی	سلماس	۵۲	آذربایجان غربی	شبستر	شبستر
۱۸	ایلام	شیروان	۵۳	ایلام	دهلران	دهلران
۱۹	قزوین	قزوین	۵۴	قزوین	خراسان رضوی	مشهد
۲۰	کردستان	سقز	۵۵	کردستان	آذربایجان غربی	ارومیه
۲۱	چهارمحال	اردل	۵۶	چهارمحال	مرکزی	اشتیاق
۲۲	ایلام	مهران	۵۷	ایلام	فارس	ممسمی
۲۳	آذربایجان غربی	نقده	۵۸	آذربایجان غربی	خراسان شمالی	بجنورد
۲۴	ایلام	دهلران	۵۹	ایلام	کرمانشاه	-
۲۵	خوزستان	شوش	۶۰	خوزستان	خراسان رضوی	مشهد
۲۶	زنجان	زنجان	۶۱	زنجان	مرکزی	تفرش
۲۷	زنجان	خدابنده	۶۲	زنجان	خراسان شمالی	بجنورد
۲۸	کردستان	بیجار	۶۳	کردستان	آذربایجان غربی	مهاباد
۲۹	خراسان رضوی	مشهد	۶۴	خراسان رضوی	خراسان رضوی	مشهد
۳۰	همدان	همدان	۶۵	همدان	کردستان	سنندج
۳۱	کرمانشاه	ستقر	۶۶	کرمانشاه	کرمانشاه	کرمانشاه
۳۲	کرمانشاه	کرمانشاه	۶۷	کرمانشاه	لرستان	خرم اباد
۳۳	فارس	سیاح	۶۸	فارس	نامشخص	نامشخص
۳۴	کرمانشاه	اسلام ابادغرب	۶۹	کرمانشاه	نامشخص	نامشخص
۳۵	همدان	همدان	۷۰	همدان	آذربایجان غربی	-

شکل ۱-پراکنش *Aegilops crassa* مورد بررسی در ایران

- ۱-آذربایجان شرقی ۲-آذربایجان غربی ۳-زنجان ۴-کردستان ۵-قزوین ۶-همدان ۷-کرمانشاه ۸-ایلام
۹-لرستان ۱۰-مرکزی ۱۱-خوزستان ۱۲-چهارمحال و بختیاری ۱۳-فارس ۱۴-خراسان شمالی ۱۵-خراسان رضوی

نتایج و بحث

شده، فاصله ژنتیکی نمونه ها را مشخص کند. بنابراین می تواند به عنوان نشانگری که در تشخیص تنوع ژنتیکی کمک کند مورد استفاده قرار گیرد.

شباهت ژنتیکی محاسبه شده بر اساس اطلاعات نشانگرهای ریزماهواره از ۰/۳۶ (بین دو ژنتوتیپ از کردستان و ایلام) تا ۰/۹۲ (بین دو ژنتوتیپ از کردستان و آذربایجان غربی) متفاوت بود. میانگین شباهت ژنتیکی نیز ۰/۳۳۸ بدست آمد. این مقدار تشابه تا حدی زیادی با مطالعات دیگر آژیلوبس ها بر اساس مارکر های مولکولی همخوانی داشت (۱۵, ۱۸).

با استفاده از تشابه بدست آمده بین نمونه ها گروهبندی آنها با استفاده از الگوریتم UPGMA انجام گرفت. دندروگرام حاصل از تجزیه کلاستر (شکل ۳) نمونه ها را در ۴ گروه عمده تقسیم بندی نمود. بطوریکه در گروه اول ۲۶ نمونه ۲۴ نمونه تتراء و ۱ نمونه هگزاپلوئید، در گروه دوم ۲۱ نمونه (۱۹ نمونه تتراء و ۲ نمونه هگزاپلوئید)، در گروه سوم یک نمونه (هگزاپلوئید) و در گروه چهارم ۲۲ نمونه (۱۹ نمونه تتراء و ۳ نمونه هگزاپلوئید) قرار داشتند. نتایج گروهبندی تجزیه کلاستر تا حد زیادی عدم ارتباط بین تنوع مولکولی و تنوع جغرافیایی را نشان می دهد. بطوریکه نمونه های جمع آوری شده در یک استان یا شهر در بسیاری از موارد در گروهها یا زیر گروههای جداگانه قرار گرفته اند که بیانگر تفاوت ژنتیکی بالای این نمونه ها می باشد. از طرف دیگر بسیاری از نمونه هایی که در یک گروه قرار گرفته بودند از مناطق جغرافیایی متفاوت بودند که این مورد می تواند به دلیل تشابه شرایط میکروکلیمایی و یا تبادل فیزیکی مواد بین این مناطق باشد.

آنالیزهای UPGMA (شکل ۳) و PCO (شکل ۴) تا حد زیادی با همدیگر همخوانی داشتند و نشان دادند که تنوع خوبی بین نمونه های *Ae. crassa* بومی ایران وجود دارد. پراکنش نمونه ها در دو بعد تجزیه به مختصات اصلی در مجموع ۲۲/۵ درصد تغییرات را توجیه نمود که ۱۴/۵ درصد توسط بعد اول و ۸ درصد توسط بعد دوم توجیه می گردید (شکل ۴). این دو تجزیه نتوانست به خوبی نمونه های

از میان ۲۱ جفت نشانگر ریزماهواره مورد استفاده، تعداد ۲۰ جفت نشانگر چند شکلی نشان داده اند و امتیازدهی شدند. از این تعداد جفت نشانگر چند شکل، در مجموع ۱۴۰ آلل چند شکل حاصل شده است، بطوریکه تعداد آلل برای هر آغازگر از ۲ تا ۱۰ و با میانگین تعداد آلل ۷ برای هر آغازگر مشاهده شد (جدول ۲). بیشترین تعداد آلل ها مربوط به آغازگرهای GWM33، GWM106، GWM484، GWM161 با ۱۰ آلل چندشکل و کمترین آنها مربوط به آغازگر GWM161 با ۲ آلل چندشکل بود. در شکل (۲) الگوی باندی تعدادی از نمونه های مورد بررسی را در جفت نشانگر Xgwm469 نشان داده شده است. از آنجائیکه میانگین تعداد آلل هر نشانگر ریزماهواره، مناسب بودن هر مکان ثنی را برای تخمین تنوع ژنتیکی نشان می دهد (۱۷)، بنابراین آغازگرهایی که تعداد آلل زیادی نشان داده اند برای بررسی تنوع ژنتیکی مناسب تشخیص داده می شوند. همچنین تعداد زیاد آلل مشاهده شده بیانگر تنوع بالای نمونه های *Ae. crassa* بومی ایران نسبت به تحقیقات قبلی کشورهای دیگر می باشد(۸). البته این تعداد آلل نسبت به آلل های دیگر گونه های آژیلوبس در برخی موارد کمتر می باشد. بطوریکه میانگین تعداد آلل مشاهده شده در این تحقیق نسبت به میانگین تعداد آلل مشاهده شده در تحقیق قبلی روی گونه Ae. tauschii کمتر می باشد (۱۵). با استفاده از فراوانی آللی، آماره PIC و MI برای هر نشانگر، به طور جداگانه محاسبه گردید که نتایج در جدول ۲ آمده است. نشانگر GWM161 بیشترین مقدار PIC (۰/۴۴) و نشانگر GWM642 با بیشترین MI (۳/۲) و نشانگر ۱۹۰ GWM کمترین PIC (۰/۱۶) و MI (۰/۶۴) را نشان دادند. تفاوت MI نسبت به PIC این است که در MI تعداد کل باند ها در نظر گرفته می شود ولی در PIC تعداد باندهای چندشکل در نظر گرفته می شود. بنابراین با توجه به نتایج بدست آمده، می توان گفت که نشانگر GWM161 با بیشترین PIC توانسته است بهتر از بقیه نشانگرهای استفاده

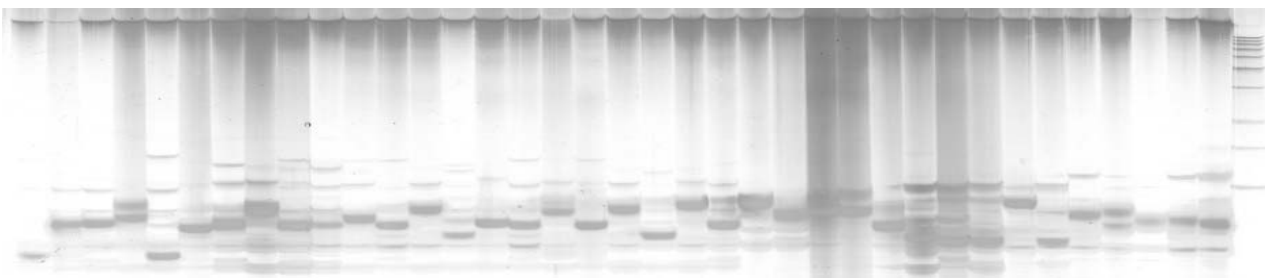
نتایج این تحقیق اطلاعات مفیدی را برای استفاده از این منابع ژنتیکی در جهت انتقال ژنهای مفید به گندم های زراعی در اختیار اصلاح کنندگان قرار می دهد. چنانکه اهمیت مطالعه این گونه در انتقال ژنهای مقاوم به خشکی به گندم نان مشخص شده است، همچنین نر عقیمه ای سیتوپلاسمی در هیبرید بین برخی جمعیتهای *Ae. crassa* و گندم هگزاپلولئید مشاهده گردیده است و استفاده از سیتوپلاسم این گونه در تولید بذر هیبرید گندم پیشنهاد شده است (۱۴، ۲۱).

تراپلولئید و هگزاپلولئید را از هم تفکیک کنند. دلیل عدم تفکیک دو سطح پلولئیدی را می توان به محدود شدن آغازگر های استفاده شده به ژنوم DD مشترک بین دو سطح پلولئیدی (۷، ۱۰) و یا تبادل بخش های کوچکی از ژنوم های مشترک بین دو سطح پلولئیدی نسبت داد.

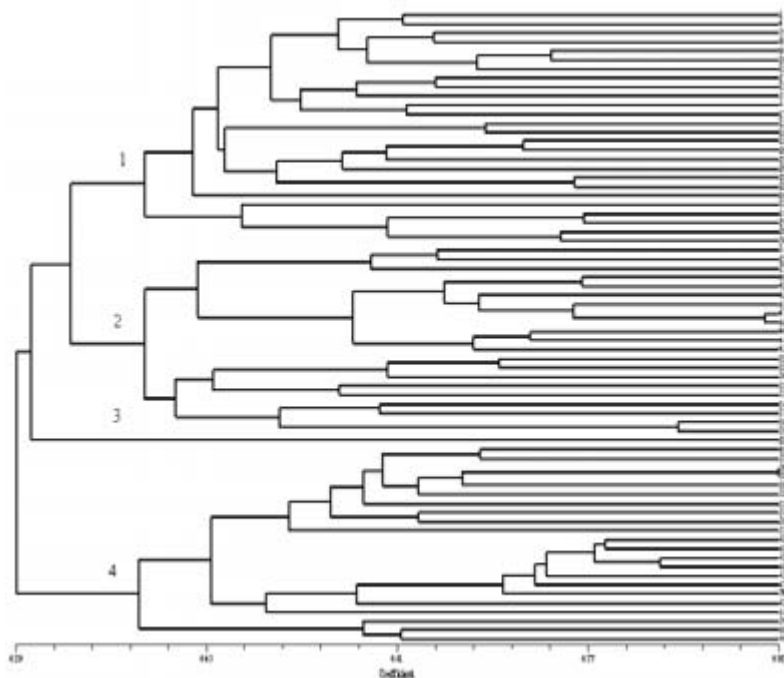
در مجموع نتایج این تحقیق نشان داد که نمونه های مورد بررسی از تنوع بسیار بالایی برخوردار می باشند و بنابراین از مارکر های SSR می توان برای مدیریت منبع ژنتیکی نمونه های *Ae. crassa* بومی ایران استفاده نمود همچنین

جدول ۲- مشخصات پرایمر های مورد استفاده به همراه میزان اطلاعات چند شکلی (PIC) و شاخص نشانگر (MI) آنها

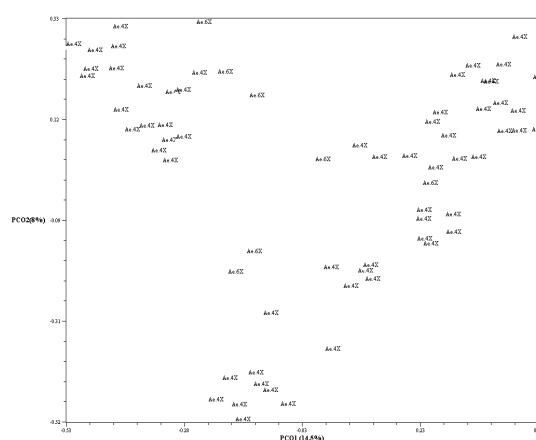
ردیف	کد	مکان ژنی	توالی نشانگر 3' → 5'	موئیف	تعداد اتصال	دما ال	PIC	MI
۱	Xgwm33-1D	RF: CAC TGC ACA CCT AAC TAC G C LF: GGA GTC ACA CTT GTT TGT GCA	(GA) ^{۱۹}	۶۰	۱۰	۰/۲	۲/۰۲	
۲	Xgwm44-7D	RF: ACT GGC ATC CAC TGA GCT G LF: GTT GAG CTT TTC AGT TCG GC	(GA) ^{۲۸}	۶۰	۵	۰/۲۶	۱/۳	
۳	Xgwm55-6D	RF: TCA TGG ATG CAT CAC ATC CT LF: GCA TCT GGT ACA CTA GCT GCC	TC) ^۲ (T) ^۲ (CT) ^{۱۷}	۶۰	۷	۰/۳۵	۲/۴۵	
۴	Xgwm102-2D	RF: TGT TGG TGG CTT GAC TAT TG LF: TCT CCC ATC CAA CGC CTC	(CT) ^{۱۵}	۶۰	۸	۰/۲۶	۲/۰۸	
۵	Xgwm106-1D	RF: AAT AAG GAC ACA ATT GGG ATG G LF: CTG TTC TTG CGT GGC ATT AA	(GA) ^{۲۴}	۶۰	۱۰	۰/۲۵	۲/۵	
۶	Xgwm161-3D	RF: TGT GAA TTA CTT GGA CGT GG LF: GAT CGA GTG ATG GCA GAT GG	(CT) ^{۱۵}	۶۰	۲	۰/۴۴	۰/۸۸	
۷	Xgwm190-5D	RF: GTG CCA CGT GGT ACC TTT G LF: GTG CTT GCT GAG CTA TGA GTC	(CT) ^{۲۲}	۶۰	۴	۰/۱۶	۰/۶۴	
۸	Xgwm194-4D	RF: CGA CGC AGA ACT TAA ACA AG LF: GAT CTG CTC TAC TCT CCT CC	(CT) ^{۲۸} imp	۵۰	۷	۰/۲۹	۲/۰۳	
۹	Xgwm271-5D	RF: AGC TGC TAG CTT TTG GGA CA LF: CAA GAT CGT GGA GCC AGC	(CT) ^۴ imp(GA) ^{۱۰}	۶۰	۵	۰/۲۶	۱/۳	
۱۰	Xgwm292-5D	RF: CCA CCG AGC CGA TAA TGT AC LF: TCA CCG TGG TCA CCG AC	(CT) ^{۲۸}	۶۰	۹	۰/۲۴	۲/۱۶	
۱۱	Xgwm295-7D	RF: GAC GGC TGC GAC GTA GAG LF: GTG AAG CAG ACC CAC AAC AC	(GA) ^{۲۵}	۶۰	۸	۰/۳۶	۲/۸۸	
۱۲	Xgwm325-6D	RF: TTT TTA CGC GTC AAC GAC G LF: TTT CTT CTG TCG TTC TCT TCC C	(CT) ^۶	۶۰	۷	۰/۳۱	۲/۱۷	
۱۳	Xgwm341-3D	RF: CCG ACA TCT CAT GGA TCC AC LF: TTC AGT GGT AGC GGT CGA G	(CT) ^{۲۶}	۵۵	۸	۰/۲۸	۲/۲۴	
۱۴	Xgwm350-7D	RF: GCA TGG ATA GGA CGC CC LF: ACC TCA TCC ACA TGT TCT ACG	(GT) ^{۱۴}	۵۵	۶	۰/۳	۱/۸	
۱۵	Xgwm383-3D	RF: GAC ATC AAT AAC CGT GGA TGG LF: ACG CCA GTT GAT CCG TAA AC	(GT) ^{۲۷}	۶۰	۷	۰/۲۳	۱/۶۱	
۱۶	Xgwm458-1D	RF: TTC GCA ATG TTG ATT TGG C LF: AAT GGC AAT TGG AAG ACA TAG C	(CA) ^{۱۳}	۶۰	۳	۰/۲۸	۰/۸۴	
۱۷	Xgwm469-6D	RF: CGA TAA CCA CTC ATC CAC ACC LF: CAA CTC AGT GCT CAC ACA ACG	(CT) ^{۱۹} (CA) ^{۱۰}	۶۰	۸	۰/۳	۲/۴	
۱۸	Xgwm484-2D	RF: AGT TCC GGT CAT GGC TAG G LF: ACA TCG CTC TTC ACA AAC CC	(CT) ^{۲۹}	۵۵	۱۰	۰/۲۱	۲/۱	
۱۹	Xgwm539-2D	RF: GAG GCT TGT GCC CTC TGT AG LF: CTG CTC TAA GAT TCA TGC AAC C	(GA) ^{۲۷}	۶۰	۸	۰/۳۱	۲/۴۸	
۲۰	Xgwm642-1D	RF: CAT GAA AGG CAA GTT CGT CA LF: ACG GCG AGA AGG TGC TC	(GT) ^{۱۴}	۶۰	۸	۰/۴	۳/۲	



شکل ۲- الگوی باندی تعدادی از نمونه های مورد بررسی در جفت Xgwm469 چاهک اول از سمت راست بیانگر سایز مارکر می باشد.



شكل-۳- گروهیندی نمونه های مختلف *Ae.crassa* با استفاده از روش دایس و الگوریتم UPGMA. شماره اعداد در سمت راست دندروگرام معادل نمونه های مشخص شده در جدول ۱ مم، باشند.



شکل ۴- نحوه پراکنش سطوح پلوئیدی مختلف *Ae. crassa* ایران در پلات دو بعدی تجزیه به مختصات اصلی (PCO)

منابع

- 12-Lelley T, Stachel M, Grausgruber, H, Vollmann J (2000) Analysis of relationships between *Aegilops tauschii* and the D genome of wheat utilizing microsatellites, *Genome* 43: 661–668.
- 13-Lubbers EL, Gill KS, Cox TS, Gill BS (1991) Variation of molecular markers among geographically diverse accessions of *Ae. tauschii* genome. 34:345-361.
- 14-Murai K, Tsunewaki K (1993) Photoperiod-sensitive cytoplasmic male sterility in wheat with *Ae. crassa* cytoplasm. *Euphytica* 67: 41-48.
- 15-Naghavi MR, Mardi M, Pirseyedi SM, Kazemi M, Potki P, Ghaffari MR (2007) Comparison of genetic variation among accessions of *Aegilops tauschii* using AFLP and SSR markers. *Genetic Resources and Crop Evolution* 54: 237-240
- 16-Ranjbar M, Naghavi MR, Zali A, Aghaei MJ (2007) Multivariate analysis of morphological in accessions of *Ae. crassa* from Iran, *Journal of Biological sciences* 10(7): 1126-1129
- 17-Roder MS, Korzun V, Wendehake K, Plaschke J, Tixier MH, Gamal MW (1998) A microsatellite map of wheat. *Genetics* 149: 2007-2023.
- 18-Saeidi H, Rahiminejad MR, Vallian S, Harrison JS (2006) Biodiversity of diploid D-genome *Aegilops tauschii* Coss. In Iran measured using microsatellites. *Genetic Resources and Crop Evolution*. 53: 1-
- 18-Saeidi H, Rahiminejad MR, Vallian S, Harrison JS (2006) Biodiversity of diploid D-genome *Aegilops tauschii* Coss. In Iran measured using microsatellites. *Genetic Resources and Crop Evolution*. 53: 1-8
- 19-Saghai-Marof MA, Soliman KM, Jorgensen RA, Allad RW (1984) DNA spacerlength polymorphism in barley: mendelian inheritance, chromosomal location and population dynamics. *Proc. Natl. Acad. Sci. USA*. 81: 8014-8018.
- 20-Thiel T, Michalek W, Varshney R K, Graner A (2003) Exploiting EST databases for the development and characterization of gene-derived SSR-markers in barley (*Hordeum vulgare L.*). *Theor. Appl. Genet.*, Vol. (106). Pp:411-422.
- 21-Valkoun J, Amri A, Konopka J, Street K, De Pau E (2006) Collection and conservation of genetic resources for dryland farming systems 13th Australian Agronomy Conference 10-15.
- 1- رنجبر، نقوی، زالی، آقایی، پیرسید، مردی (۱۳۸۶) مطالعه سیتوتیپ های آژیلوبس کراسای بومی ایران، دومین همایش ملی زیست شناسی سلولی و مولکولی
- 2-Badaeva E D, Amosova A V, Muravenko O V, Samatadze T E, Chikida N N, Zelenin A V, Friebe B, Gill B S (2002) Genome differentiation in *Aegilops*. 3. Evolution of the D-genome cluster, *plant Syst. Evol.* 231: 163-190.
- 3-Bassam B., Caetano-Anolles J G, Gressho P M (1991) Fast and sensitive silver staining of DNA in polyacrylamide gels. *Anal. Biochem.* 19: 680-683.
- 4-Dubkovsky J, Dvorak J (1995) Genome origin of *Triticum cylindricum*, *Triticum triunciale*, and *Triticum ventricosum* (Poaceae) inferred from variation in repeated nucleotide sequences: A methodological study. *Amer. J. Bot.* 81: 1327-1335.
- 5-Dudnikov A, Kawahara T (2006) *Aegilops tauschii*: genetic variation in Iran. *Genetic Resources and Crop Evolution* 53: 579-86.
- 6-Eig A (1929) Monographisch-Kritische Uebersicht der Gattung *Aegilops*. Report .spec.nov.reg.veg. Beih.55:1-228.
- 7-Fribe B, Badaeva ED, Zoshchuk SA, Gill BS (1998) Molecular cytogenetic analysis of tetraploid and hexaploid *Aegilops crassa*. *Chromosome Research* 6: 629-637.
- 8- Goryunova SV, Kochieva EZ, Chikida NN, Pukhalskyi VA (2004) Phylogenetic relationships and intraspecific variation of D-genome *Aegilops* L. as revealed by RAPD analysis. *Russian Journal of Genetics* 5: 515-523.
- 9-Kazutoshi O, Kaoru E, Bayarsukh N, Hisashi Y (1998) Genetic diversity of central Asian and north Caucasian *Aegilops* species as revealed by RAPD markers. *Genetic Resources and Crop Evolution* 4: 389-394.
- 10-Kihara H, Yamashita KY Manaka, Sakamoto S (1958) Geographical distribution of 4x and 6x froms of *Aegilops crassa*. *Wheat Information Service* 5:11-12.
- 11-Kimber G & Feldman M (1987) Wild wheat, an introduction. College of Agriculture University of Missouri, Columbia. 142 pp.

- 22-Van Slageren MW (1994) Wild wheats: a monograph of *Aegilops* L. and *Amblyopyrum* (jaub. and Spach) Eig (poaceae). Wageningen Agricultural University. Wageningen, the Netherland, pp: 94-107.
- 23-Waines J G, Hegde S G, Valkoun J (2002) Genetic Diversity in Wild and Weedy *Aegilops*, *Amblyopyrum*, and *Secale* SpeciesA Preliminary Survey *Crop Science* 42:608-614.
- 24-Witcombe J R (1983) A Guide to the Species of *Aegilops* L. Their Taxonomy, Morphology and Distribution. Rome: IBPGR Secretariat.
- 25-Zaharieva M, Dimov A, Stankova P, David J, Monneveux P (2003) Morphological diversity and potential interest for wheat improvement of three *Aegilops* L species from Bulgaria. *Genetic Resources and Crop Evolution* 50:507-517
- 26- Zhao Y H, Kimber G (1984) New hybrids with D-genome wheat relatives. *Genetics* 106:509-515.